

有限帯板法による補助板の弾塑性座屈解析

岩手大学

正員 寺本 裕

正員 岩崎正二

学生員○永藤壽宮

1. まえがき

板及び薄剛板について 有限帯板法によるパラメトリック解析をし 弾性座屈 及び 残留応力度を考慮した弾塑性座屈解析をなし 分割数と収束状況、及びその有効性を考慮するものである。

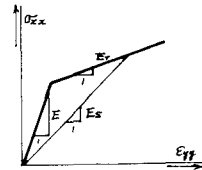
2. 解析の理論

解析にあたっての主要な仮定事項は、次のものになる。①材料は 等方性の完全弾塑性体である。②塑性域の応力-ひずみ関係は、座屈変形に伴うひずみの反転はないものとして Hencky の変形理論を用いる。③補助された平板の弾塑性分岐座屈のみを対象とする。④座屈時の変形は 縦方向の面外、面内変形とともに三角級数、横方向には 面外変形は、3次多項式、面内変形は 1次式で近似する。⑤残留応力は 縦方向のみ肉溶接、かく溶接などによつて生じる縦方向残留応力のみを考慮し それを初期応力と考え 作用応力と同等に扱う。⑥板パネル及び補助材を構成する帶板要素は すべて 等質等方性板とする。

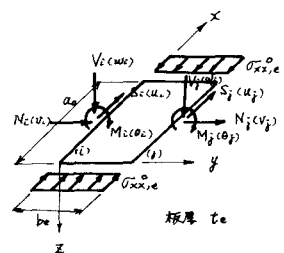
塑性域においての Hencky の変形理論及び 弾性域の応力-ひずみ関係を考慮する。そして座屈直前のひずみ成分 ε_{xy} 、応力成分 σ_{xy} 、相当応力度 α_c 及び $\beta = (1 - \frac{Y}{\alpha_c}) \frac{1 - E_r/E}{E_r/E}$ が、座屈に伴い それそれ $\varepsilon_{xy} + \delta\varepsilon_{xy}$ 、 $\sigma_{xy} + \delta\sigma_{xy}$ 、 $\alpha_c + \delta\alpha_c$ 、 $\beta + \delta\beta$ に変化した時の応力増分、ひずみ増分の関係は、次の様になる。 $\delta\varepsilon_{xx} = \frac{1}{E} \{ (\varepsilon_{yy} - \frac{1}{2} \varepsilon_{xy}) \delta\beta + \beta (\delta\sigma_{xx} - \frac{1}{2} \delta\sigma_{yy}) + \delta\sigma_{xx} - 2\delta\sigma_{yy} \}$ 、 $\delta\varepsilon_{yy} = \frac{1}{E} \{ (\varepsilon_{yy} - \frac{1}{2} \varepsilon_{xy}) \delta\beta + \beta (\delta\sigma_{yy} - \frac{1}{2} \delta\sigma_{xx}) + \delta\sigma_{yy} - 2\delta\sigma_{xx} \}$ 、 $\delta\varepsilon_{xy} = \frac{1}{E} \{ \frac{3}{2} \varepsilon_{xy} \delta\beta + (\frac{3}{2} \beta + 1 + \nu) \delta\sigma_{xy} \}$ 次に これらを $\{\delta\sigma_{xx}, \delta\sigma_{yy}, \delta\sigma_{xy}\}^T = EK \{ \delta\varepsilon_{xx}, \delta\varepsilon_{yy}, \delta\varepsilon_{xy} \}^T$ にして、座屈直前までは $\sigma_{yy} = \sigma_{xy} = 0$ 、 $\alpha_c = \alpha_{xy}$ 及び 完全弾塑性体の為 $E_r = 0$ を代入して 整理すると 下式になる。

$$\begin{pmatrix} \delta\sigma_{xx} \\ \delta\sigma_{yy} \\ \delta\sigma_{xy} \end{pmatrix} = E \begin{pmatrix} k_1 & k_2 & 0 \\ k_2 & k_3 & 0 \\ 0 & 0 & k_4 \end{pmatrix} \begin{pmatrix} \delta\varepsilon_{xx} \\ \delta\varepsilon_{yy} \\ \delta\varepsilon_{xy} \end{pmatrix}$$

弾性の場合: $k_1 = k_3 = \frac{1}{1 - 2\nu}$, $k_2 = \frac{1}{1 - 2\nu}$, $k_4 = \frac{1}{2(1 + \nu)}$
 塑性の場合: $k_1 = \frac{1}{2 - 4\nu + 3(E_r/E)}$, $k_2 = 2k_1$, $k_3 = 4k_1$, $k_4 = \frac{1}{1 + 2\nu + 3(E_r/E)}$



右図の様な板に、残留応力度を含む圧縮応力度 $\sigma_{xx,e}$ が 作用している場合の座屈強度を 有限帯板法によつて解析する。ただし、座屈変形は 微少と考へ 3次以上の項を無視したので 面外変形と面内変形の連成はない。要素内の変位 u_x, u_y, u_z は x 方向には 三角級数、 y 方向には 面外変位は 3次 Hermite補間式、面内変位は 1次式を用いて仮定する。Cheung のやつた様に仮定した式を ポテンシャルエネルギーの式に代入して その停留原理から それをマトリックスと説明する。



3. 要素のマトリックス

①面外変形に関するマトリックス

$$\frac{\pi^4 D^*}{a_0^2 b^*} \begin{bmatrix} a_{11} & a_{12} & a_{13} & a_{14} \\ a_{21} & a_{22} & a_{23} & a_{24} \\ a_{31} & a_{32} & a_{33} & a_{34} \\ a_{41} & a_{42} & a_{43} & a_{44} \end{bmatrix} \begin{bmatrix} \bar{b}_m \cdot b^* \\ \bar{w}_m \\ \bar{b}_j \cdot b^* \\ \bar{w}_{jn} \end{bmatrix} = \begin{aligned} a_{11} &= \left(\frac{be}{b^*}\right) \left(\frac{t_e}{t^*}\right) \left(-\frac{1}{105} m^2 \alpha_1 + \frac{4}{15} m^2 \alpha_2 + 4 \alpha_3 + \frac{8}{15} m^2 \alpha_4\right) - \lambda^2 \frac{1}{105} m^2 \left(\frac{be}{b^*}\right)^2 b^* \\ a_{12} &= \left(\frac{t_e}{t^*}\right)^3 \left(-\frac{11}{210} m^2 \alpha_1 + \frac{6}{5} m^2 \alpha_2 + 6 \alpha_3 + \frac{2}{5} m^2 \alpha_4\right) - \lambda^2 \frac{11}{210} m^2 \left(\frac{be}{b^*}\right)^2 b^* \\ a_{13} &= \left(\frac{be}{b^*}\right) \left(\frac{t_e}{t^*}\right)^3 \left(-\frac{1}{140} m^2 \alpha_1 - \frac{1}{15} m^2 \alpha_2 + 2 \alpha_3 - \frac{2}{15} m^2 \alpha_4\right) + \lambda^2 \frac{1}{140} m^2 \left(\frac{be}{b^*}\right) b^* \\ a_{14} &= \left(\frac{t_e}{t^*}\right) \left(\frac{13}{420} m^2 \alpha_1 - \frac{1}{3} m^2 \alpha_2 - 6 \alpha_3 - \frac{2}{3} m^2 \alpha_4\right) - \lambda^2 \frac{13}{420} m^2 \left(\frac{be}{b^*}\right) b^* \\ a_{22} &= \left(\frac{be}{b^*}\right) \left(\frac{9}{70} m^2 \alpha_1 - \frac{12}{5} m^2 \alpha_2 - 12 \alpha_3 - \frac{24}{5} m^2 \alpha_4\right) - \lambda^2 \frac{9}{70} m^2 b^*, \quad a_{33} = a_{11}, \quad a_{34} = -a_{12}, \quad a_{43} = a_{22}, \quad a_{44} = -a_{14} \end{aligned}$$

$$\text{ここで } b^* \text{ 基準幅, } t^* \text{ 基準板厚, } m = -1, \alpha_1 = \left(\frac{b^*}{b}\right)^2 \left(\frac{t^*}{t}\right)^2 k_1, \alpha_2 = \frac{k_2}{\pi^2}, \alpha_3 = \left(\frac{b^*}{b}\right)^2 \left(\frac{t^*}{t}\right)^2 k_3, \alpha_4 = \frac{k_4}{\pi^2}$$

$$\delta = \frac{1}{1-\lambda^2} \left(\frac{b^*}{b} \right) \left(\frac{t^*}{t} \right) \left(\frac{\alpha_1 \alpha_3}{\alpha_2} \right), D^* = \frac{E(t^*)^3}{12}, \lambda^* \text{ (固有値)} = \left(\frac{b^*}{t^*} \right)^2 \frac{12(1-\lambda^2)}{\pi^2} \left(\frac{\alpha_2}{E} \right)$$

②面内変形に関するマトリックス

$$\frac{\pi^4 D^*}{a_0^2 b^*} \begin{bmatrix} a_{11} & a_{12} & a_{13} & a_{14} \\ a_{21} & a_{22} & a_{23} & a_{24} \\ \text{SYM} & a_{33} & a_{34} & \\ a_{44} & & & \end{bmatrix} \begin{bmatrix} \bar{u}_{1m} \\ \bar{u}_{2m} \\ \bar{u}_{3m} \\ \bar{u}_{4m} \end{bmatrix} = \begin{bmatrix} a_{11} = (4m^2 \beta_1 + 12\beta_4) - \lambda^2 \frac{1}{3} m^2 t^*, a_{12} = (6m \beta_2 - 6m \beta_3) \\ a_{13} = (2m^2 \beta_1 - 12\beta_4) - \lambda^2 \frac{1}{6} m^2 t^*, a_{14} = (-6m \beta_2 - 6m \beta_3) \\ a_{22} = (12\beta_3 + 4m \beta_4) - \lambda^2 \frac{1}{3} m^2 t^*, a_{23} = -a_{14}, a_{24} = a_{12} \\ a_{31} = (-12\beta_3 + 2m^2 \beta_4) - \lambda^2 \frac{1}{6} m^2 t^*, a_{33} = a_{11}, a_{34} = -a_{12} \end{bmatrix}$$

$$\text{ここで } \beta_1 = \left(\frac{b^*}{t^*} \right)^2 \left(\frac{t^*}{t} \right) \left(\frac{b^*}{b} \right)^2 \frac{k_1}{\pi^2}, \beta_2 = \left(\frac{b^*}{t^*} \right)^2 \left(\frac{t^*}{t} \right) \left(\frac{a_0}{b} \right) \frac{k_2}{\pi^2}, \beta_3 = \left(\frac{b^*}{t^*} \right)^2 \left(\frac{t^*}{t} \right) \left(\frac{b^*}{b} \right)^2 \frac{k_3}{\pi^2}, \beta_4 = \left(\frac{b^*}{t^*} \right)^2 \left(\frac{t^*}{t} \right) \left(\frac{a_0}{b} \right)^2 \frac{k_4}{\pi^2}$$

$$x \left(\frac{b^*}{b} \right) \frac{k_4}{\pi^2}, \beta_5 = \left(\frac{b^*}{t^*} \right)^2 \left(\frac{t^*}{t} \right) \left(\frac{a_0}{b} \right) \frac{k_4}{\pi^2}, \beta_6 = \left(\frac{b^*}{t^*} \right)^2 \left(\frac{t^*}{t} \right) \left(\frac{b^*}{b} \right)^2 \frac{k_4}{\pi^2}$$

そして 基準座標系でマトリックスを重ね合せれば、全体マトリックスが得られる。ただし平板の場合 上述した様に 面外、面内に 分かれるとか 補剛板の場合には、板パネルの面外変位と 補剛材の面内変位と適合させる為に 分離できない。そしてこの全体マトリックスから 倍精度ハウスホルダーQR法で 一般固有値計算を実施した。

4 残留応力分布について

残留応力分布をモデル化し モーメント及び断面内のフリーアイによって 残留応力分布を決定する。

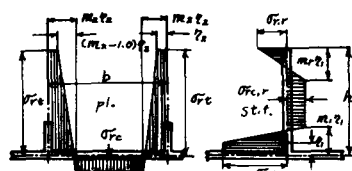
板パネルの中立面まわりのモーメントのフリーアイより 下式が 成まる。

$$\frac{h_2}{h} = \frac{\sqrt{3(B_1 + 2B_2 + 3B_3)} - 3B_4}{z(B_3 + B_6 - B_5)}$$

$$\text{ただし } B_1 = \{4(m_i^2 + m_i + 1) + m_r^2\} (\sigma_{rcr}^*)^2, B_2 = \{z(m_r^2 + m_i + 1)\sigma_{rc}^* + m_r^2 \sigma_{rr}^*\} \sigma_{rcr}^*, B_3 = m_r^2 (\sigma_{rr}^*)^2, B_4 = m_r \times (\sigma_{rcr}^* + \sigma_{rr}^*), B_5 = \{(m_r^2 + m_i + 1) - m_r^2\} \sigma_{rcr}^*, B_6 = (m_r^2 + m_i + 1) \sigma_{rc}^*$$

$$B_7 = m_r^2 \sigma_{rr}^* \quad (\text{ただし } * \text{の記号は、底辺を除いて割りて無次元化している})$$

$$\text{更に断面内の引張力と圧縮力が 等しい事より } \frac{h_2}{h} = \frac{\sigma_{rcr}^* + (\sigma_{rcr}^* - B_0) N \delta}{(m_r^2 + 1) (\sigma_{rc}^* + m_r \sigma_{rr}^*)} \quad \text{ただし } B_0 = \frac{1}{2} \{ (m_i + m_r + 1) \sigma_{rcr}^* + (m_i + 1) \sigma_{rc}^* + m_r \sigma_{rr}^* \} \left(\frac{h}{h} \right), \delta = \pi t_r / (b_0 t), N \text{ 補剛材本数}$$



5 数値計算例

①板の弾性座屈 図1に示す板について、座屈係数を算出し パネル分割数と収束の関係を示す。n: 分割数

②板の塑性座屈 図3に示す4辺単純支持の單一平板で 残留応

力分布は 図4に示す。そしてその結果は 図5に示す。なお

穴は 無次元幅厚比で $\frac{b}{t} \sqrt{\frac{\alpha_2}{E}} \frac{12(1-\lambda^2)}{\pi^2}$ と表わされる。



図1

図2

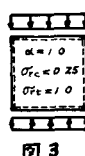


図3

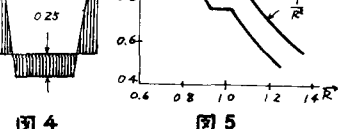


図4

図5

計算方法による。

③補剛板の弾性座屈 図6に示す4辺単純支持で 補剛材を一本有する補剛板の座屈係数を計算し サイバネル分割数や 補剛材分割数と収束の関係を 図7に示す。ただし $\delta=0.05$, $\gamma=5.0$ である。

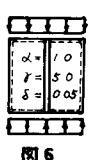


図6

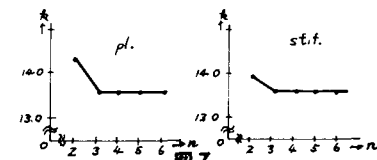


図7

参考文献 (1)小松, 牛尾 圧縮補剛板の弾塑性座屈強度と合理的設計法について, 土木学会論文報告集 第278号 1978年10月

(2)小堀, 吉田 鋼構造設計理論, 森北出版